



101 V99

دانشگاه شیراز
دانشکده علوم

به نام خدا

بررسی و تشخیص پیوند هیدروژنی در بازهای دوتایی اسیدهای نوکلئیک

به وسیله‌ی:

فاطمه فدایی نوبندگانی

پایان نامه

ارائه شده به تحصیلات تکمیلی دانشگاه به عنوان بخشی

از فعالیت‌های تحصیلی لازم برای اخذ درجه کارشناسی ارشد

در رشته‌ی:

شیمی(شیمی فیزیک)

از دانشگاه شیراز

شیراز

جمهوری اسلامی ایران

۱۳۸۷ / ۱۰ / ۲۸

ارزیابی شده توسط کمیته پایان نامه با درجه: عالی

دکتر افshan مهاجری استاد یار بخش شیمی (استاد راهنمای و رئیس کمیته)

دکتر علی حیدر پاکیاری استاد بخش شیمی

دکتر جلیل مقدسی دانشیار بخش شیمی

مهرماه ۱۳۸۶

۱۰۲ ۷۹۹

تقدیم به :

پدر بزرگوارم،

مادر فدایکارم،

همسر مهربانیم ،

برادرهای عزیزم،

خواهر مهربانیم

و

آنان که با تمام وجود دوستشان دارم

۲۸ / ۱۰ / ۱۳۸۷

سپا سگزاری

و در خلوت دلت به جست و جوی صاحبخانه ای . خانه دل را به هر کس سپرده ای پشیمانی و اینک می خواهی به صاحب اصلیش تحويل دهی. کلید خانه را گرفته ای و در به دنبال او می گردی که در خلوت دلت بانگ بر می دارد من اینجا یم! و خلوت دلت را می بینی که از اوست و از همه به تو نزدیکتر است.

الله، کدام زبان به ستایش تو رسد، کدام خرد صفت تو برتابد، کدام شکر با نعمت های تو برابر آید و کدام بنده بگزار عبادت تو رسد.

اکنون که به یاری پروردگار این پایان نامه را با موفقیت به پایان رسانده ام جا دارد از تمامی عزیزانی که در انجام آن مرا یاری نمودنده اند قدردانی کنم.

از استاد راهنمای عزیزم سرکار خانم دکتر مهاجری که با ایجاد محیطی آکنده از صمیمیت و مهربانی شیرینی درس خواندن و علم آموختن را برای من دوچندان کردند و به پاس تمام راهنمایی ها و همایی های بی دریغشان صمیمانه قدردانی می نمایم. امید که روزی گوشه ای از زحمات ایشان را جبران نمایم. از استاد ارجمند جناب آقای دکتر پاکیاری استاد مشاور مهربان و دلسوزم و سبب تمامی همکاری های صمیمانه شان سپاسگزاری می نمایم. همچنین از جناب آقای دکتر مقدسی استاد مشاور مهربان و دلسوزم نهایت تشکر را دارم. از استاد خوبیم جناب آقای دکتر نبوی زاده که قبول زحمت فرمودند و نمایندگی تحصیلات تكمیلی مرا به شهدۀ گرفتند تشکر می نمایم. یک قدردانی ویژه دارم از خانواده مهربان و همسر عزیزم که تمام موفقیت هایم را مدیون زحمات همیشگی شان هستم. از سرکار خانم اعظم قاسمی به پاس محبت ها و همکاری های فراوانش در تمامی مراحل انجام این پایان نامه نهایت تشکر و سپاسگزاری را دارم. از تمام دوستان بسیار عزیز و مهربانم در دوره کارشناسی و کارشناسی ارشد به سبب تمام دوستی ها و مهربانی هایشان قدردانی می کنم. تشکر ویژه ای دارم از جناب آقای دکتر قطعی که زحمات زیادی برای ایشان داشته ام و همکاری فراوانی با من نمودند. از تمام کارکنان محترم بخش شیمی تشکر می کنم و آرزوی موفقیت و سربلندی برایشان دارم. جا دارد که از تمامی اساتید گرانقدر بخش شیمی که در دوره کارشناسی ارشد درس های فراوانی از محضرشان آموخته ام تشکر و قدردانی نمایم.

چکیده

بررسی و تشخیص قدرت پیوند هیدروژنی در جفت های دو تایی نوکلئیک اسید

به وسیله‌ی :

فاطمه فدائی نوبندگانی

در این تحقیق ماهیت پیوند هیدروژنی بین پنج نوع نوکلئیک اسید گوناگون شامل آدنین سیتوزین - تیمین - گوانین و اوراسیل به صورت تئوری مورد بررسی قرار گرفت. بررسی و تشخیص پیوند هیدروژنی را برای پانزده کمپلکس حاصل از این پنج نوکلئیک اسید از پنج دیدگاه متفاوت (انرژی- هندسه مولکول - اتم ها در مولکول ها - آنالیز اوربیتال پیوند طبیعی- روش های طیف سنتجی) انجام شد. از بین روش های مختلفی که برای توصیف پیوند هیدروژنی استفاده شد، تعدادی از روش ها ارتباط بهتری با قدرت پیوند هیدروژنی برقرار می کردند به عنوان مثال دانسته در BCP و نفوذ بین اتمی و انرژی انتقال بار بهتر توصیف کننده قدرت پیوند هیدروژنی هستند و سایر پارامتر ها مانند انرژی ناپایداری اتم هیدروژن و تغییر فرکانس $X - H$ و پارامترهای NBO به صورت ضعیف تری پیوند هیدروژنی را توصیف می کردند. در تیمین اکسیژن شماره ۴ بیشتر در تشکیل کمپلکس شرکت دارد. در حالتی که در اوراسیل اکسیژن شماره ۲ مؤثرتر است در بقیه کمپلکس ها هر دو اکسیژن نقش بسزایی دارند.

| صفحه | فهرست مطالب | عنوان |
|------|-------------|--|
| ۱ | | فصل اول : مقدمه |
| ۱ | | ۱-پیشینه تاریخی |
| ۲ | | ۲-پیوندهای هیدروژنی قوی و ضعیف |
| ۳ | | ۳-شاهد تجربی پیوندهای هیدروژنی |
| ۴ | | ۴-۱-طیف سنجی مادون قرمز IR |
| ۵ | | ۴-۲-۳-۱- فرکانس کششی پیوند A - H |
| ۵ | | ۴-۳-۳-۱- شدت فرکانس کششی پیوند A - H |
| ۶ | | ۴-۳-۱- پهناهی فرکانس کششی پیوند A - H |
| ۶ | | ۴-۴-۱- طیف سنجی NMR |
| ۶ | | ۱-۵- نقش مهم پیوند هیدروژنی در ساختارهای بیولوژیکی |
| ۷ | | ۱-۶- طبیعت و خصوصیات پیوند هیدروژنی |
| ۷ | | ۱-۷- محاسبات تئوری |
| ۱۰ | | فصل دوم: مروری بر مقالات |
| ۱۰ | | ۱-۲- مروری بر مقالات |
| ۱۳ | | فصل سوم: مقدمات و مبانی نظری |
| ۱۳ | | ۱-۳- روش های از اساس |
| ۱۳ | | ۲-۳- معادله شرودینگر |
| ۱۵ | | ۳-۳- روش های اوربیتال مولکولی |
| ۱۵ | | ۴-۳- تئوری هارتی فاک |
| ۱۷ | | ۴-۵- نظریه تابعیت چگالی الکترونی (DFT) |
| ۲۰ | | ۶-۳- سری پایه |
| ۲۱ | | ۶-۶-۱- STO-nG |
| ۲۱ | | ۶-۶-۲- k-nlmG |
| ۲۱ | | ۷-۳- اتم ها در مولکول ها |
| ۲۳ | | ۸-۳- اوربیتال پیوند طبیعی |
| ۲۴ | | ۹-۳- رزونانس چهار قطبی هسته |
| ۲۵ | | ۱۰-۳- خطای بر همنهی توابع پایه |
| ۲۶ | | ۱۱-۳- روش های محاسباتی |
| ۲۷ | | فصل چهارم: بحث و نتیجه گیری |
| ۲۷ | | ۱-۴- دیدگاه انرژی و هندسه مولکول |
| ۲۸ | | ۲-۴- پارامترهای اتم ها در مولکول ها |
| ۳۰ | | ۳-۴- آنالیز اوربیتال پیوندی طبیعی |
| ۳۱ | | ۴-۴- روش های طیف سنجی |
| ۳۲ | | ۵-۴- نتیجه گیری |
| ۶۶ | | منابع |

| صفحه | عنوان | فهرست جدول ها |
|------|-------|--|
| ۳ | | جدول ۱: خصوصیات پیوندهای هیدروژنی خیلی قوی. |
| ۴ | | جدول ۲: ارتعاش های پیوند هیدروژنی $A - H \Lambda B$. |
| ۵۵ | | جدول (۳): طول پیوند، (\AA) فرکانس و خصلت ν_{6s} جمعیت σ^* دانسیته و لاپلاسین دانسیته کترونی پیوند N-H و انرژی اتم هیدروژن برای نوکلئک اسید های مجزا از طریق B3LYP/6-31+G*. |
| ۵۶ | | جدول (۴): انرژی های بر همکنش در جفت های دو تایی و مولکول های مجزا. |
| ۵۷ | | جدول (۵): طول پیوند هیدروژنی D و فاصله اتم d_{H} برابر d_Y . |
| ۵۸ | | جدول (۶): دانسیته الکترون (r) ρ و لاپلاسین $\nabla^2 \rho$ و انرژی سینتیک الکترونی (r) G و انرژی پتانسیل الکترونی (r) V و انرژی اتم هیدروژن (E_H) . |
| ۶۰ | | جدول (۷): آنالیز NBO برای جفت های دو تایی. |
| ۶۱ | | جدول (۸): آنالیز NBO در پیوند هیدروژنی و فرکانس و طول پیوند X-H-Z و زاویه Y. |
| ۶۲ | | جدول (۹): محاسبات جا به جایی شیمیایی برای O^{17} و N^{14} برای نوکلئیک اسید های مجزا و کمپلکس ها. |
| ۶۳ | | جدول (۱۰): محاسبات NMR و جا به جایی شیمیایی برای O^{17} و N^{14} برای نوکلئیک اسید های مجزا و کمپلکس ها. |

| صفحه | فهرست شکل ها | عنوان |
|------|--------------|---|
| ۳ | RHF/6 | شکل شماره ۱-پتانسیل پیوند هیدروژنی قوی بدست آمده توسط محاسبات |
| | $F\Lambda F$ | که در آن فاصله 3.00 \AA در حدود 31 G^{**} و اتم H در طول محور $F\Lambda F$ حرکت می کند. |
| ۴ | RHF/6 | شکل شماره ۲-پتانسیل پیوند هیدروژنی قوی بدست آمده توسط محاسبات |
| | $F\Lambda F$ | که در آن فاصله 3.00 \AA در حدود 31 G^{**} و اتم H در طول محور $F\Lambda F$ حرکت می کند. |
| ۵ | $A-H-B$ | شکل شماره ۳-طیف R پیوند هیدروژنی |
| ۸ | Danielsson's | شکل شماره ۴-ساختار های واندروالسی Coulson و |
| ۸ | Tsubomüre | شکل شماره ۵-ساختار های واندروالسی |
| ۳۵ | | شکل شماره ۶-ساختار های بینه شده پیوند هیدروژنی در بازهای دو تایی |

عنوان

فهرست نمودارها

صفحة

- ۴۰ نمودار (۷): ارتباط بین دانسیته در BCP طول $N----H$
- ۴۱ نمودار (۸): ارتباط بین دانسیته در BCP طول $O----H$
- ۴۲ نمودار (۹): ارتباط بین انرژی سینتیک $(G(r), V(r))$ در BCP و فاصله $N----H$
- ۴۳ نمودار (۱۰): ارتباط بین انرژی سینتیک $(G(r), V(r))$ در BCP و فاصله $O----H$
- ۴۴ نمودار (۱۱): ارتباط بین دانسیته در BCP در پیوند $H---N$ و نفوذ بین اتمی
- ۴۵ نمودار (۱۲): ارتباط بین دانسیته در BCP در پیوند $H---O$ و نفوذ بین اتمی
- ۴۶ نمودار (۱۳): ارتباط بین انرژی انتقال بار و دانسیته در BCP رای پیوند های $N----H$
- ۴۷ نمودار (۱۴): ارتباط بین انرژی انتقال بار و دانسیته در BCP برای پیوند های $O---H$
- ۴۸ نمودار (۱۵): ارتباط بین Δn_{σ^*} و انرژی انتقال بار
- ۴۹ نمودار (۱۶): ارتباط بین Δv_{N-H} و فاصله $N----H$
- ۵۰ نمودار (۱۷): ارتباط بین Δv_{N-H} و فاصله $O----H$
- ۵۱ نمودار (۱۸): ارتباط بین ثابت جفت شدن چهار تایی O^{17} جا به جا بی شیمیایی
- ۵۲ نمودار (۱۹): ارتباط بین ثابت جفت شدن چهار تایی N^{14} وجا به جا بی شیمیایی
- ۵۳ نمودار (۲۰): ارتباط بین ثابت جفت شدن چهار تایی O^{17} و پارامتر های نا متقارنی
- ۵۴ نمودار (۲۱): ارتباط بین ثابت جفت شدن چهار تایی N^{14} پارامتر های نا متقارنی

فصل اول

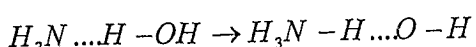
مقدمہ

مقدمه

پیوند هیدروژنی نیرویی بین مولکولی است که بین دوبار الکتریکی جزئی با علامت مخالف وجود می‌آید. پیوند هیدروژنی نوعی نیروی بین مولکولی نسبتاً ضعیف در مقایسه با نیروهای یونی و کووالانسی است. یک طرف این پیوند شامل اتم هیدروژن و طرف دیگر به اتم الکترونگاتیو قوی مثل اکسیژن یا فلور متصل است. این اتم الکترونگاتیو ابرالکترونی را از اطراف هسته H جذب می‌کند و دارای بار جزئی مثبت می‌شود. به خاطر اندازه کوچک H نسبت به اتم‌های دیگر، بار حاصل هرچند جزئی است اما دانسیته بار زیادی را معرفی می‌کند. پیوند هیدروژنی زمانی که دانسیته بار مثبت قوی به طرف چفت تنهای روی اتم الکترونگاتیو می‌رود بوجود می‌آید. این پیوند هرچند از برهم کنش بارهای جزئی بوجود می‌آید اما یک سری خصوصیات پیوندهای کووالانسی را داراست که این خصلت با زیادشدن قدرت الکترونگاتیوی اتم الکترونگاتیو افزایش می‌یابد. [۱]

۱-۱- تاریخچه

پیوند هیدروژنی اولین بار توسط *Rodebush* و *Latimer* [۲] در سال ۱۹۲۰ معرفی شد اما مفهوم پیوند هیدروژنی به اوایل قرن نوزدهم بر می‌گردد. این مفهوم توسط واکنش زیر به وسیله *Werner* در سال ۱۹۰۲ ارائه شد [۳]



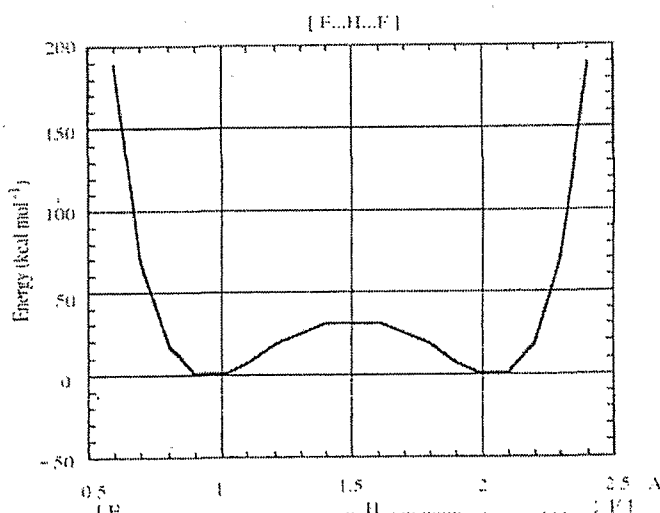
از آن زمان پدیده‌های شیمیایی زیادی مشاهده شدند که باعث توجه بیشتر محققان روی پیوندهای هیدروژنی شد. [۶-۴]

۱-۲-پیوندهای هیدروژنی قوی و ضعیف

هرچند پیوند هیدروژنی نسبت به خیلی از پیوندهای معمول ضعیف تر است اما قدرتش با تغییر نوع اتم $A - H$ و B تغییر می‌کند که $A - H$ یک پیوند کووالانسی و B یک اتم الکترونگاتیو است و پیوند هیدروژنی به صورت $A - H...B$ تشکیل می‌گردد. مشخص شده که هرچه خصلت الکترونگاتیوی اتم به عنوان یک دهنده زیادتر باشد پیوند هیدروژنی از لحاظ قدرت به حد پیوندهای کووالانسی نزدیک تر می‌شود. در حالی که اگر اتم الکترونگاتیو قوی نباشد پیوند هیدروژنی از لحاظ قدرت حدوداً الکترواستاتیکی است. [۷]

پیوندهای هیدروژنی قوی و ضعیف و نرمال خواص متفاوتی دارند که در جدول شماره ۱ آمده است. پیوندهای هیدروژنی از لحاظ قدرت به سه دسته طبقه‌بندی می‌شوند:

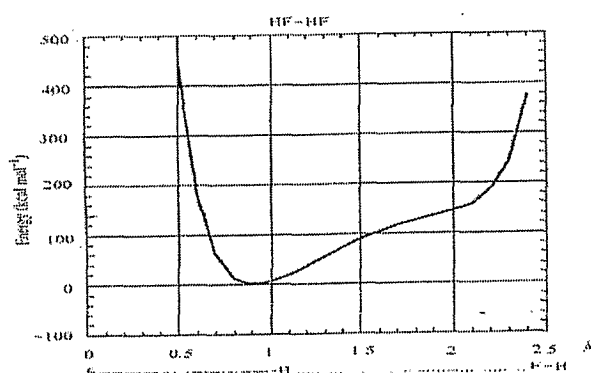
انرژی بالاتر از $10 \frac{kcal}{mol}$ به عنوان پیوند قوی - انرژی در حد $3 \frac{kcal}{mol}$ ، متوسط و انرژی کمتر از $3 \frac{kcal}{mol}$ به عنوان پیوند ضعیف معرفی می‌شود.



شکل ۱: پتانسیل پیوند هیدروژنی قوی بدست آمده توسط محاسبات $RHF/6-31 G^{**}$ که در آن فاصله $F\Lambda F$ در حدود 3.00 \AA و اتم H در طول محور $F\Lambda F$ تغییر می‌کند.

جدول ۱: خصوصیات پیوندهای هیدروژنی خیلی قوی

| <i>Properties</i> | <i>Very strong bonds</i> | <i>Normal Or weak bonds</i> |
|----------------------|---|--|
| <i>Types of bond</i> | $F - H \Lambda F^-$ $O - H \Lambda O^-$ $O(+) - H \Lambda O$ | $A - H \Lambda B$, where A is a highly electronegative atom and B is any σ or π electron donor |
| <i>Bond length</i> | Narrow range $H \Lambda B$ 1.2 to 1.5 Å $H \Lambda B \approx A - H$ | Broad range $H \Lambda B$ 1.5 to 3.0 Å $H \Lambda B > A - H$ |
| <i>Bond angle</i> | Strongly directional $\langle A - H \Lambda B \approx 180^\circ$ | Weakly directional $\langle A - H \Lambda B \approx 160 \pm 20^\circ$ |
| <i>Bond energy</i> | $> 10 \text{ kcal mol}^{-1}$ | $< 5 \text{ kcal mol}^{-1}$ |



شکل ۲: پتانسیل پیوند هیدروژنی قوی بدست آمده توسط محاسبات $RHF/6-31 G^{**}$ که در آن فاصله $F \Lambda F$ در حدود 3.00 Å و اتم H در طول محور $F \Lambda F$ تغییر می کند.

۱-۳- شواهد تجربی پیوندهای هیدروژنی

پیوند هیدروژنی نقش مهمی در سیستم های حیاتی بازی می کند. پیوند های هیدروژنی را می توان به طور آزمایشگاهی به وسیله روش های طیف سنجی و روش های غیر طیف سنجی مطالعه و بررسی کرد. [۸]

این پدیده‌ها به طور خلاصه به صورت زیر است:

الف) نقاط ذوب و جوش

ب) آنتالپی مخلوط شدن

ج) گشتاور دوقطبی مغناطیسی

د) ثابت یونیزه شدن اسیدها

ه) کاهش حلایت

ز) طیف سنجی ارتعاشی

خ) طیف سنجی *NMR* و ...

به دلیل استفاده زیاد از تکنیک طیف‌سنجی در اینجا ما نیز روش‌هایی مانند *IR* را بررسی می‌کنیم.

۱-۳-۱- طیف سنجی مادون قرمز *IR*

به طور تاریخی طیف سنجی *IR* مهم‌ترین تکنیک طیف سنجی در شناخت پیوند هیدروژنی است زیرا حالت‌های ارتعاشی حساسیت زیادی به حضور پیوند هیدروژنی دارند. حالت‌های ارتعاشی مهم در پیوند هیدروژنی در جدول ۲ آورده شده است. تغییر عمدی‌های که در ضمن تشکیل پیوند هیدروژنی رخ می‌دهد به صورت ۱) کاهش فرکانس کششی (ν_s) پیوند $A-H$ و ۲) افزایش فرکانس خمشی (ν_b) پیوند $A-H$ است و همچنین پهنه‌ای پیوند و شدت فرکانس کششی (ν_i) زیاد می‌شود. (شکل ۳)

جدول ۳: ارتعاش‌های پیوند هیدروژنی $A-H \Lambda B$

| Region (cm^{-1}) | Mode | Symbol | Description |
|----------------------|--|-------------------------|--|
| 3500~2500 | $A \overset{\leftrightarrow}{H} \Lambda B$ | ν_s | $A-H$ stretch |
| 1700~1000 | $A \overset{\uparrow}{H} \Lambda \underset{\downarrow}{B}$ | ν_b | $A-H$ in-plane bend |
| 900~300 | $A \overset{\pm}{H} \Lambda B$ | ν_i | $A-H$ out-of-plane bend |
| 250~100 | $A-H \Lambda \overset{\leftrightarrow}{B}$ | ν_σ | $H \Lambda B$ stretch |
| Below 200 | $A-H \Lambda \overset{\uparrow}{B}$ | ν_β, ν_γ | $H \Lambda B$ in-plane and out-of-plane bend |

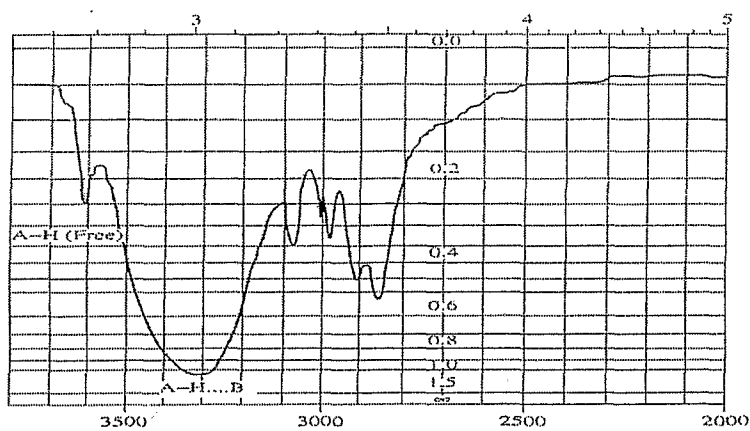


Figure 3 Typical IR spectrum of hydrogen bonded $A - H \cdots B$

۱-۳-۲- فرکانس کششی پیوند $A - H$

حرکت به سمت فرکانس‌های پایین‌تر در پیوند $A - H$ یک خصوصیت ابتدائی پیوند هیدروژنی محسوب می‌شود.

حرکت به سمت فرکانس پایین‌تر در نتیجه افزایش ناهماهنگی در پتانسیل کششی $A - H$ و جفت شدن ناهماهنگ v_b بوجود می‌آید. [۸]

۱-۳-۳- شدت فرکانس کششی پیوند $A - H$

افزایش نسبی در شدت فرکانس پیوند کششی $A - H$ خصلت دیگر پیوند هیدروژنی است. به عنوان مثال در پیوند هیدروژنی ضعیف تغییرات شدت حساس تراز تغییرات فرکانس است. [۹-۱۰] شدت با افزایش قدرت پیوند هیدروژنی افزایش می‌یابد. شدت فرکانس پیوند کششی (v) به بهترین شکل با تغییر در قطبیت پیوند $A - H$ و توزیع بار در اطراف پیوند هیدروژنی مربوط می‌شود. که این در تئوری پیوند هیدروژنی خیلی مهم است.

۱-۳-۴-پهنای فرکانس کششی پیوند $H - H$

پهنای فرکانس کششی پیوند $H - H$ سومین خصوصیت مهم در پیوند هیدروژنی است. بجز در مواردی که پیوند هیدروژنی توسط تکنیکهای مختلف مجزا می شود پهنا می تواند به قدرت پیوند هیدروژنی مربوط شود.

پهنا معمولاً در نصف بلندی طیف مربوط به پیوند که می تواند بالاتر از 1000cm^{-1} باشد اندازه گیری می شود. (در سیستم هایی که شامل یک پیوند یگانه است). [۱۱]

افزایش پهنا در پیوند $H - H$ به عوامل زیر مربوط می شود:

(۱) جفت شدن ν با ν که پیوندهای متفاوت $\nu \pm \nu$ را می دهد.

(۲) تغییرات در نامهانگی

(۳) رزونانس فرمی ν با فرکانس های فرعی یا ترکیبی.

(۴) همپوشانی پیوندها مربوط به حضور چند پیوند هیدروژنی گوناگون. [۱۲و۸]

۱-۴-۴-طیف سنجی NMR

تأثیر پیوند هیدروژنی روی سیگنال طیف NMR برای اولین بار برای رزونانس پروتون در اتانول مورد توجه بود. یک شیفت به میدان مغناطیسی بالاتر با افزایش دما یا رقیق کردن اتانول با تتراکلرید کربن مشاهده شد. [۱۳و۱۴]

این شیفت شیمیایی در رزونانس به شکست پیوند هیدروژنی در اتانول با حرارت یا رقیق کردن مربوط می شود. حرکت به میدان های بالاتر به دلیل پیوند هیدروژنی که توسط Pople [۱۵] ارائه شد، مربوط است با درنظر گرفتن تاثیر نسبی:

(۱) جریانهای مغناطیسی غیر ایزوتوپی در B

(۲) قطبی شدن پیوند $H - H$ توسط B

۱-۵-نقش مهم پیوندهای هیدروژنی در ساختارهای بیولوژیکی

اهمیت پیوندهای هیدروژنی در ساختارهای بیولوژیکی سالها قبل از مشخص شدن ساختار کریستالوگرافی پروتئین ها و اسیدهای نوکلئیک گزارش شده است. هر چند پیوند هیدروژنی یک

برهم‌کنش ضعیف است اما آنها مهم‌ترین نیروها برای مشخص کردن ساختار سه بعدی پروتئین‌ها می‌باشد.

پیچ خوردگی α و ورقه β دو پلی پپتید پیشنهاد شده است که توسط پیوند هیدروژنی بوجود می‌آید و پایدارترین شکل موجود در ساختار پروتئین هاست. در این ماکرو مولکول‌ها پیوند بین بخش‌های یکسان که به شکل خاص تا خورده‌اند بوجود می‌آید و در تشخیص نقش فیزیولوژی یا بیوشیمی آنها و ساختار دوتایی *DNA* مؤثر است.

۱-۶- طبیعت و خصوصیات پیوند هیدروژنی

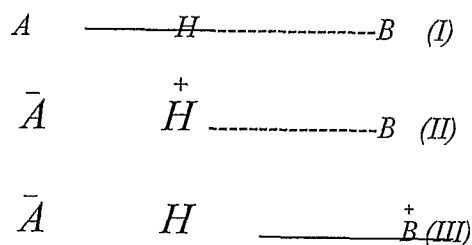
هرچند مطالعات تجربی زیادی روی پیوندهای هیدروژنی برای سیستم‌های گوناگون انجام شده است اما هنوز مشکلات زیادی وجود دارد که از تفسیر درست نتایج جلوگیری می‌کند. بنابراین تصور می‌شود تئوری نقش مهمی در مطالعه پیوند هیدروژنی بازی می‌کند. یک تئوری موفق برای پیوند هیدروژنی قادر است اطلاعات کمی مفیدی و خصوصیات مهمی از پیوندهای هیدروژنی موجود در کمپلکس‌ها را فراهم کند. این خصوصیات عبارتند از:

- ۱) تمایل به نفوذ شعاع‌های واندر والسی ضمن تشکیل پیوند هیدروژنی
- ۲) افزایش طول پیوند $A - H$
- ۳) کاهش فرکانس کششی پیوند $A - H$
- ۴) افزایش شدت و پهنای پیوند $A - H$
- ۵) افزایش قطبیت و گشتاور دوقطبی
- ۶) افزایش خصلت خطی در $A - H \dots B$ و ...

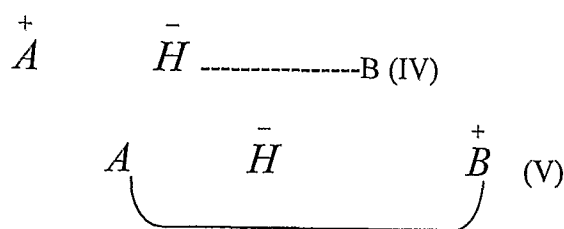
۱-۷- محاسبات تئوری

تا قبل از سال ۱۹۵۷ مطالعات تئوری پیوند هیدروژنی با مدل‌های کلاسیکی الکترواستاتیک یا روش‌های تقریبی مکانیک کوانتومی انجام می‌شد که این اطلاعات توسط دست یا کامپیوترهای کوچک به دست می‌آمدند. مدل‌های کلاسیکی اولین مدل‌های پیشنهاد شده برای پیوند هیدروژنی بودند اما محاسبات الکترواستاتیکی در توصیف کامل پیوند هیدروژنی ناموفق بود. زیرا در آن عوامل مؤثری مثل

قطبیت، غیرمستقر شدن الکترون‌ها، تبادل الکترون‌ها و ... را بین مولکول‌ها نادیده می‌گرفت. برای اینکه این رفتارها مورد توجه قرار گیرند مکانیک کوانتوم مورد نیاز است. [۱۶] سه ساختار کووالانسی *Danielsson* و *Coulson* در محاسباتشان نظر گرفته شدند و نتیجه گرفته شد که هر چه طول پیوند هیدروژنی افزایش یابد خصلت کووالانسی کمتر می‌شود. [۱۷]



شکل ۴: ساختارهای *Danielsson's* و *Coulson*



شکل ۵: ساختارهای *Tsubomure*

تئوری اثبات کرد که پیوند هیدروژنی تا قبل از سال ۱۹۷۵ نتوانست درست توصیف شود. [۱۸] به طور خلاصه بیان کرد که سه عامل مهم و یک عامل کم اهمیت در توزیع انرژی کل پیوند هیدروژنی وجود دارد. که سه عامل عمده عبارتند از ۱) انرژی الکترواستاتیک ۲) انرژی غیرمستقر شدن^۳) انرژی دافعه که هر کدام سهم یکسان دارند و عامل کم ارزش انرژی مربوط به پخش است. سه سطح محاسباتی برای توصیف پیوند هیدروژنی می‌توان در نظر گرفت.

۱) محاسبات اوربیتال مولکولی از اساس

این روش از تئوری میدان خود سازگار با اوربیتال‌های مولکولی تک الکترونی استفاده می‌کند. که اساس این روش، وردشی است که در آن از هیچ داده تجربی استفاده نمی‌شود.

۲) روش نیمه تجربی

اساس این روش اصول مکانیک کوانتومی است که تا حدی از نتایج تجربی استفاده می‌شود.

۳) میدان نیروی اولیه

اساس این روش مکانیک کلاسیکی نیوتن است که از مفاهیم مکانیک کوانتومی استفاده می‌کند. این روش نیز از داده‌های تجربی استفاده می‌کند.

فصل دوم

مروری بر مقالات